

## Étiologie et facteurs précipitants

La seule cause démontrée est l'infection par le VHB. D'autres virus peuvent être impliqués de façon anecdotique.

### Péritérite noueuse due au virus de l'hépatite B

Le mode de contamination le plus souvent observé autrefois était la transfusion sanguine. Aujourd'hui, les contaminations sont d'origine sexuelle ou liées à une toxicomanie par voie intraveineuse. Déjà 1970, un lien a été fait entre l'infection virale par le VHB et la maladie. Au début des années 1990, la moitié des cas de PAN était liée à une infection par le VHB. L'incidence de l'infection par le VHB et de la PAN-VHB a aujourd'hui diminué, suite aux campagnes de vaccination et à une amélioration de la sécurité transfusionnelle. Dans la mesure où la prévalence de la PAN elle-même a diminué, on constate toutefois que les cas de PAN-VHB représentent 10 à 25 % des cas de PAN [6].

### Autres causes infectieuses

D'autres virus ont été associés à la survenue d'une PAN, mais ils ne rendent compte que de cas exceptionnels : virus de l'hépatite C, parvovirus B19, virus de l'immunodéficience humaine (VIH), virus du groupe herpes ou virus d'Epstein-Barr.

Outre ces agents infectieux, la PAN a parfois été décrite en association à des tumeurs malignes ou à des hémopathies, notamment la leucémie à trichohydracytose. Les syndromes myélodysplasiques dont les leucémies myélyomonocytaires chroniques et les anémies réfractaires pourraient également être concernés.

## Anatomopathologie

La lésion histologique élémentaire définissant la PAN est une vascularite nécrosante segmentaire qui affecte les vaisseaux de moyen calibre avec une répartition ubiquitaire (Figure S03-P01-C08-1). Toutes les artères de l'organisme peuvent être touchées à l'exception de l'artéria de l'aorte et des artères pulmonaires. À la phase aigüe, l'inflammation de la paroi artérielle se caractérise par de la nécrose fibrinolide de la média et une infiltration par des cellules polymorphes composées en majorité de polynucléaires neutrophiles à noyaux souvent pycnotiques et associés à un nombre variable de lymphocytes et d'éosinophiles. Les structures cladiques et surtout la limite élastique interne sont progressivement envahies par la nécrose fibrinolide. L'atérite de l'endothélium peut conduire à la thrombose. Lorsque l'atteinte vasculaire n'est pas circonférentielle, des micro-anévrysmes peuvent se développer. À un stade ultérieur, l'évolution se fait vers la cicatrisation avec

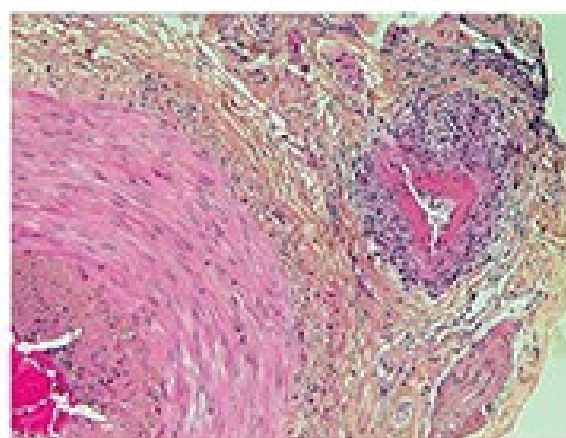


Figure S03-P01-C08-1. Nécrose fibrinolide et réaction inflammatoire adjuvante d'une branche de l'artère temporale, permettant de porter le diagnostic de vascularite nécrosante.

une endantrite fibreuse qui rend impossible tout diagnostic histologique rétrospectif de PAN. Une autre donnée histologique caractéristique de la PAN est la coexistence de lésions de vascularité d'âges différents, avec des lésions fraîches détruisant des lésions cicatricielles au sein du même vaisseau ou de tissus différents. Par ailleurs, l'atteinte est segmentaire.

Il faut de préférence biopsier les sites touchés par la maladie ; c'est notamment le cas de la peau, mais aussi parfois de l'artère temporaire. Chez les patients présentant des douleurs musculaires, la biopsie doit être pratiquée de préférence en distalité des membres : mollets ou loge antéro-externe de jambe. En cas de neuropathie périphérique, une biopsie neuromusculaire donne le diagnostic dans approximativement 60 % des cas. En cas d'intervention chirurgicale, notamment abdominale à la suite d'une perforation intestinale, d'une appendicite ou d'une cholecystite aigüe, l'analyse des pièces opératoires peut donner le diagnostic. La biopsie rénale est contre-indiquée car elle peut être responsable d'hématomes rénaux ou périténiaux suite à la rupture de micro-anévrysmes.

## Manifestations cliniques

Les principales manifestations cliniques observées au cours de la PAN et leur fréquence selon les principales séries de la littérature sont résumées dans le tableau S03-P01-C08-II. Les chiffres mentionnés dans les séries les plus anciennes doivent toutefois être pris avec préca-

Tableau S03-P01-C08-II. Fréquence en pourcentage des principales manifestations cliniques et/ou atteintes d'organe au cours de la péritérite noueuse, selon les plus importantes séries de la littérature.

Référence	Nombre de patients	Âge moyen	Atteinte cardiaque	HTA	Atteinte rénale	Atteinte cutanée	Atteinte du SNC	Neuropathie périphérique	Atteinte digestive
Pagnoux et al., 2010 [17]	348	51	22	34 (récent)	51	50	4	74	38
Fortin et al., 1996 [2]	45	56	18	-	44	44	24	61	63
Cohen et al., 1990 [17 <sup>a</sup> ]	63	54	4	14	66	66	-	60	25
Leib et al., 1979 [11 <sup>a</sup> ]	64	47	30	25	63	28	25	72	42
Frohner et Sheps, 1967 [27 <sup>a</sup> ]	130	-	10	-	8	68	3	62	14
Gullivin et al., 1968 [4]	165	49	23	31	29	46	17	67	31
Mouray et al., 1954 [16 <sup>a</sup> ]	607	-	-	58	80	25	-	66	49

<sup>a</sup> Ces séries les plus anciennes incluaient, sans distinction, des patients atteints de PAN et de polyangite microscopique.

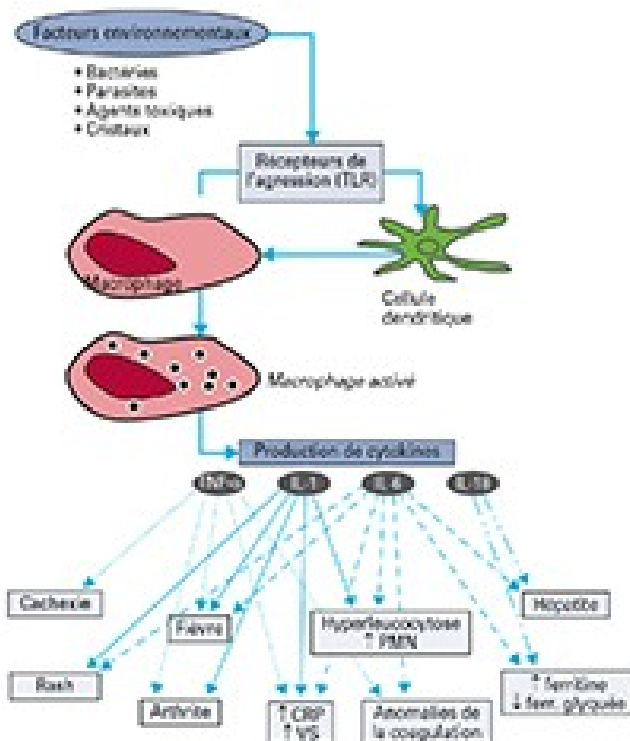


Figure S03-P01-C20-1 Physiopathologie de la maladie de Still de l'adulte. CPP : protéine C réactive ; IL : interleukine ; PMN : polymorphonucléaire neutrophile ; TLR : récepteur Toll-like ; TNF- $\alpha$  : tumor necrosis factor- $\alpha$  ; VS : vitesse de sédimentation.

Tableau S03-P01-C20-1 Manifestations cliniques dans 659 cas de maladie de Still de l'adulte [41].

	Nombre	Pourcentage
Sexe féminin	443/659	67,2
Âge < 35 ans	400/659	60,6
Épisode dans l'enfance	574/659	13
Arthralgies	655/659	99,4
Arthrites	490/659	73,7
= polyarthrite	130/178	77
= oligoarthrite	41/178	23
Fièvre > 39 °C	544/659	94,8
Perte de poids > 10 %	166/646	47,9
Éruption cutanée	630/659	93,6
Mal de gorge	379/659	56,9
Myalgies	218/659	63,7
Adénopathies	346/659	62,0
Splénomégalie	273/637	42,9
Hépatomégalie	190/659	30,5
Pleurite	145/618	23,5
Péricardite	139/627	22,2
Douleurs abdominales	86/422	20,4
Pneumopathie	68/404	13,8
Acuité rénale	31/655	8,7
Acuité neurologique	33/675	6,9
Acuité oculaire	16/602	5,3

### Arthralgies ou arthrites

Elles sont également constants, parfois décalées dans le temps. Les douleurs sont en général maximales lors des pics fibrillés. Parfois migratoires, elles se fixent rapidement au cours de l'évolution, le plus souvent sous la forme d'une polyarthrite bilatérale et symétrique pouvant toucher petites et grosses articulations y compris interphalangianes distales, sacroiliaques, temporomandibulaires et cervicales. La position articulaire met en évidence un liquide inflammatoire et la biopsie synoviale une synovite non spécifique. Quand il existe des arthrites, un passage à la chronicité est possible avec, dans un tiers des cas, une atteinte destructrice à type de pincement articulaire ou d'érosions. Au niveau de la main, l'arthrite prédomine sur les articulations carpéennes et carpo-métacarpiennes avec peu de destruction distale (Figure S03-P01-C20-2).



Figure S03-P01-C20-2 : Cage thoracique isolée au cours d'une maladie de Still de l'adulte.

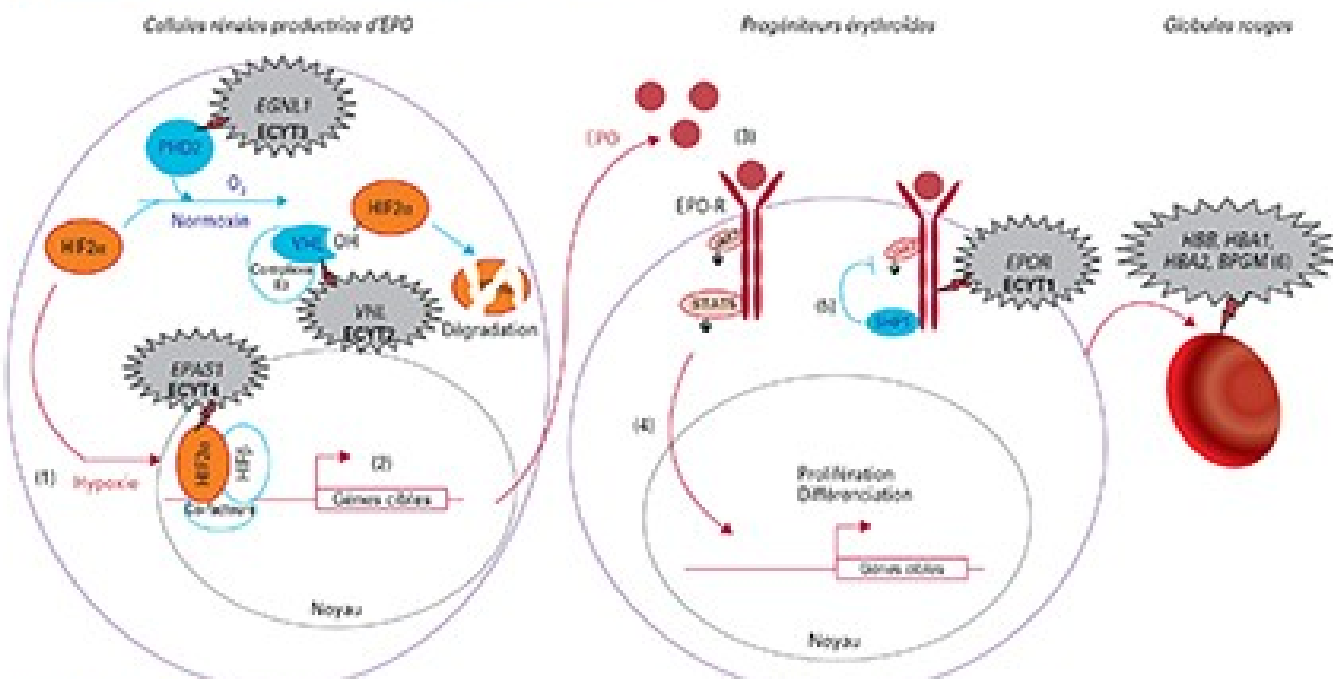
### Signes cutanés

Le rash typique comporte des pettes maculo-ou maculopapules, de couleur rose saumon, non prurigineuses, de quelques millimètres de diamètre avec une bordure légèrement irrégulière, parfois enserrées d'une marelle de peau plus pâle (Figure S03-P01-C20-3). Elle siège le plus souvent à la racine des membres et sur le tronc. Son caractère typiquement fugace, maximal lors des pics fibrillés, disparaissant sans séquelle pendant les périodes d'appareil, constitue un élément d'orientation en faveur du diagnostic de maladie de Still de l'adulte [18]. L'histologie est non spécifique.

L'existence d'un purpura ou d'echymoses doit faire discuter une complication telle qu'une angiopathie intravasculaire dissimilée (CVID), un purpura thrombotique thrombocytopénique (syndrome de Miescher-Wittrit) ou un syndrome d'activation macrophagique.



Figure S03-P01-C20-3 : Erythème fugace de maladie de Still de l'adulte sur le bras.



**Figure 504-P03-C07-1** Voies de régulation de la production de globules rouges et anomalies conduisant à une érythrocytose. (1) Lorsque la concentration en oxygène diminue, la protéine HIF2α est stabilisée. (2) HIF2α forme un facteur de transcription actif et induit la synthèse de nombreux gènes, dont l'érythropoïétine (EPO), dans les fibroblastes interstitiels du rein. (3) L'EPO va ensuite stimuler la prolifération des cellules souches précurseurs des hématies au niveau de la moelle osseuse. L'EPO lie son récepteur EPOR à la surface des cellules érythroïdes et entraîne une cascade de phosphorylation. La protéine JAK2 Unus kinase 2 est autophosphorylée et phosphoryle à son tour les tyrosines situées dans la région cytoplasmique du récepteur de l'EPO. Ces tyrosines agissent comme un point d'ancre pour de nombreuses protéines régulatrices positives, comme la protéine STAT5 (signal transducer and activator of transcription factor 5), la sourcière régulatrice du phosphotidyl inositol PI(3,5) et la tyrosine kinase Lyn. (4) Suite à sa fixation à EPOR-phosphorylé, STAT5 s'homodimérisé et subit une translocation dans le noyau où elle va entraîner la transcription de nombreux gènes impliqués dans la prolifération des précurseurs érythroïdes et la production de globules rouges. (5) Les tyrosines phosphorylées du domaine C-terminal du récepteur de l'EPO servent également de point d'ancre à des protéines inhibitrices du signal : SHP1 et SHC homology region 2 domain-containing phosphoinositide 3-kinase (SH2) homology region 2 domain-containing protein 1 ou SOCS (suppressors of cytokine signaling). Environ 30 minutes après la fixation de l'EPO, la protéine SHP1 est recrutée au niveau du récepteur et déphosphoryle celui-ci ainsi que JAK2. Le récepteur est ensuite ubiquitiné puis dégradé dans le protéasome. (6) Les mutations engendrant une hyperaffinité de l'hémoglobine pour l'oxygène sont celles qui altèrent la structure de l'hémoglobine (HBB, HBA1, HBA2) et celles qui diminuent la production de 2,3-diphosphoglycerate (BPGM). Des mutations germinales dans les gènes codant certains acteurs de ces voies de signalisation sont responsables d'érythrocytoses familiales (ECYT). Les gènes dont les mutations sont responsables de polyglobulies congénitales figurent dans les zones grises (voir texte).

gène. Le 2,3-DPG est un produit généré dans le globule rouge en parallèle à la glycolyse anaérobie (thème de Luebring-Rapoport). Il interagit avec la sous-unité  $\beta$  de globine, ce qui entraîne une modification allostérique et une diminution de l'affinité de l'hémoglobine pour l'oxygène, et ainsi une augmentation de la libération d'oxygène au niveau des tissus. Les mutations dans le gène BPGM sont très rares avec seulement trois variantes décrites. Ces mutations sont de type « perte de fonction » (mutations faux sens). Elles entraînent une synthèse réduite de 2,3-DPG et une augmentation de l'affinité de l'hémoglobine pour l'oxygène.

#### Anomalies dans la voie de régulation de l'hypoxie

##### Voie de régulation de l'hypoxie (voir Figure 504-P03-C07-1)

L'acteur majeur de l'adaptation à la diminution de la concentration en oxygène (hypoxie) est le facteur de transcription HIF (*Hypoxia-inducible factor*). Il s'agit d'un facteur de transcription hétérodimérique ( $\alpha/\beta$ ) dont la sous-unité  $\beta$  (HIF1B/MARNT) est exprimée de façon constitutive et la sous-unité  $\alpha$  (HIF1 $\alpha$  ou HIF2 $\alpha$ ) est étroitement régulée, principalement par des modifications post-translationalles. En présence d'oxygène, la sous-unité  $\alpha$  de HIF est hydroxylée par des dioxygénases : les prolyl-hydroxylases (PHD1, 2 et 3) et l'asparagine-hydroxylase FIH (*Factor inhibiting HIF*). Les prolyl-hydroxylases contrôlent l'hydroxylation de deux résidus proline de HIF $\alpha$  qui permettent la fixation de la protéine

VHL (von Hippel-Lindau). VHL est la sous-unité de reconnaissance du substrat d'un complexe multicomposé ubiquitine ligase E3 qui, par ubiquitination, entraîne la dégradation de HIF $\alpha$  dans le protéasome. En présence d'oxygène, HIF $\alpha$  est donc dégradé via l'activité intracellulaire des protéines PHD et VHL. Dans la famille des prolyl-hydroxylases, PHD2 joue un rôle prépondérant dans la régulation de l'expression de HIF $\alpha$ . La dioxygénase FIH hydroxyle une asparagine de HIF $\alpha$  qui inhibe la fixation du co-activateur p500/CBP. En l'absence d'oxygène, les activités hydroxylases sont inhibées et la sous-unité HIF $\alpha$  est stabilisée et capable de fixer HIF $\beta$  dans le noyau. Le facteur de transcription HIF $\alpha\beta$  induit alors la transcription de gènes qui possèdent une séquence consensus *Hypoxia responsive element* (HRE). On estime à plus de 200 le nombre de gènes régulés par HIF sachant que ceux-ci diffèrent selon la sous-unité  $\alpha$  qui compose le facteur et selon le type cellulaire. Les gènes cibles de HIF jouent un rôle dans de multiples processus biologiques comme l'érythropoïèse (l'EPO a été le premier gène cible décrit), l'angiogenèse, le métabolisme du glucose, la survie cellulaire, l'autophagie, etc.

##### Mutations dans le gène VHL (ECYT2) (voir Figure 504-P03-C07-1)

Le gène suppresseur de tumour VHL (OMIM 608537) est situé au locus 3p25.3. Des mutations germliales bétahétérozygotes du gène VHL